

首都高速道路公团神奈川建設局設計課長 泉 满明 正会員
 同 関内工事・務所 ○萩原英輔 同
 (株)大林組関内工事・務所 中川金爾 同

(1) はじめに

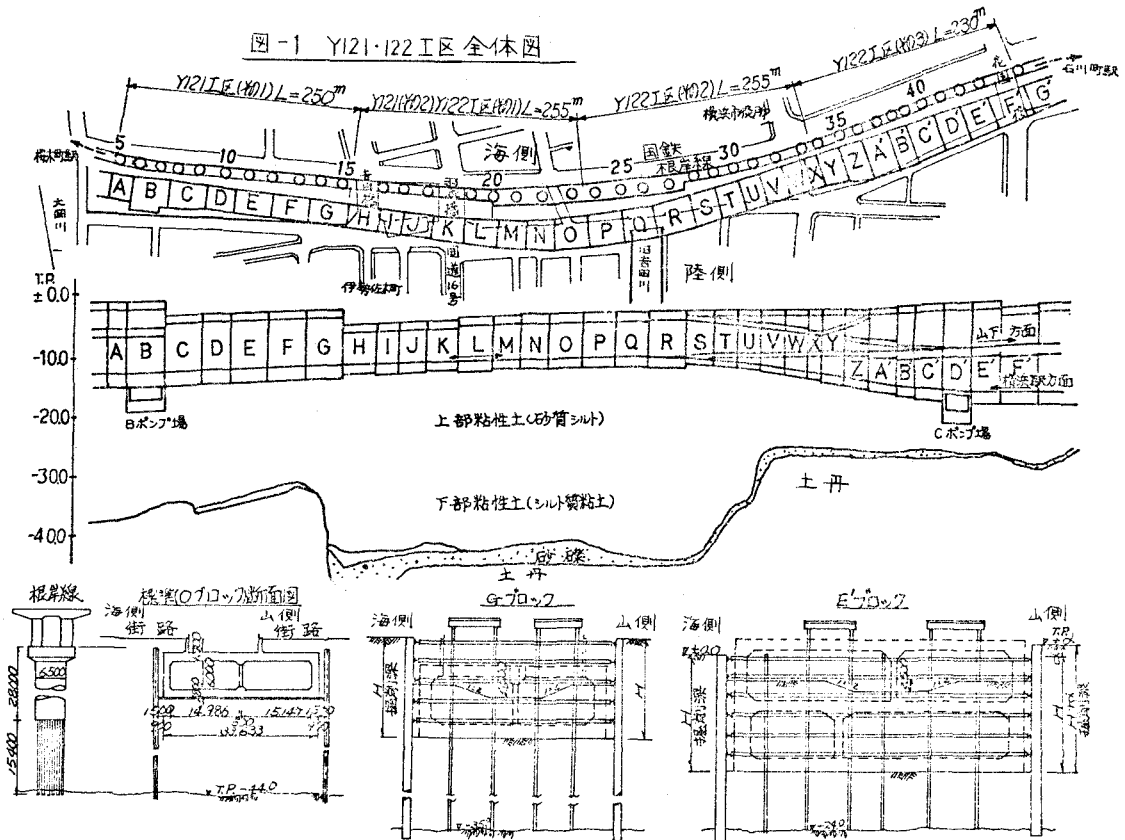
首都高速横浜-羽田空港線(Ⅱ期)の横浜市桜木町から関内・伊勢佐木町を経由して石川町に至る半地下構造および遂道構造区間は、軟弱なシルト質粘性地盤において開削工法で施工中である。(図-1)

本報告は、国鉄根岸線の関内駅附近の延長990mの開削工事区間ににおける山留め工の切梁反力の実測に関する中間報告である。通常の山留め工の場合の切梁に対する土圧については、1969年にメキシコで開催された「第1回世界土質基礎工学会議」にて、過去の豊富な施工例をもとに R.B. Peck により Stability number (Nb : 安定指數) という概念を導入して慣用的な見かけの土圧(以下 Peck の土圧といふ)が提案されている。この報告では、鋼管矢板を用いた剛な山留め工の切梁反力の実測値を Peck の土圧と比較対照して、剛度の高い山留め杭の場合に、前述のような慣用的な取扱いが可能か否かについて若干の検討を行なった。

(2) 設計・施工

この工区の概要は図-1の通りである。国鉄根岸線に並行している淀川をTP±0.0m迄埋立後、高速道路工事を行なっている。従って土留めに作用する土圧は旧河川内の現地盤高が陸側より1.5m~2.5m低いために偏土圧となっている。掘削中は25.1m~45.2m、床下深はTP-8.2m~TP-16.3mである。そしてB-Dプロ

図-1 Y121-122工区全体図



ツクのみは高速排水ポンプ室のために TP-20.5 m である。又、両ブロックは構築の一部を先行して打設し切梁として用いる工法を採用した。一般のブロックの掘削深では F ブロックが最深で 19.1 m である。

土質状態は図-2 に示すような軟弱なシルト質粘性土で、強固な地盤である土丹層は TP-24 m ~ -45 m にある。掘削中の周辺地盤の変状の場合にその影響を最小限にすむ目的で、掘削するブロックの両側のブロックの土を可能な限り残す掘削方法を採用した。そして、その方法の安全性のために生石灰杭による地盤改良を床付面より 5 m の深さ迄行なっている。改良効果は、含水比が約 10% の減少 単位体積重量が約 3% の増加、一軸圧縮強度が約 80% の増加である。

山留め杭は、切梁を弹性バネ、抵抗土圧を弾・塑性バネとする支承に支持される連続梁と仮定した構造モデルで各掘削段階毎の解析を行なって、掘削深および土丹深と作用モーメントとの関係を求める。それぞれの掘削深に応じて $\phi 609.6 \times 9.5$ (抵抗モーメント: $R_M = 43 \text{ t} \cdot \text{m}/\text{m}$) ~ $\phi 1422.4 \times 21.9$ ($R_M = 537 \text{ t} \cdot \text{m}/\text{m}$) の鋼管矢板を用いた。鋼管矢板は、曲げに対する断面保持のためコンクリートで申語し、先端は設計上必要とする長さを土丹中に打込んだ。更に打設困難な長さの場合には 中詰めコンクリートの先端の RC 神強して鋼管矢板先端よりも更深く埋め込んでいる。

切梁・腹起に作用する土圧については、前述の計算結果の切梁反力が Peck の土圧と大差ないために慣用的な手法に従って Peck の土圧の下方分担として設計した。切梁は H400×400×13/21, 腹起は H400×408×2/21 を標準として、水平間隔 2.5 m, 鋼直間隔 2 m ~ 3 m (2.5 m 標準) に配置した。

(3) 切梁荷重計測

掘削に近接して国鉄根岸線の高架橋およびビル等がある上に、以上に述べたような経験の少ない軟弱地盤での深い大規模な開削工事であるので、掘削による近接構造物への影響および山留め工の安全性には細心の注意が必要である。従って、B・U・D の 3 ブロックにおいては、鋼管矢板に作用する土圧・水圧、発生する曲げモーメ

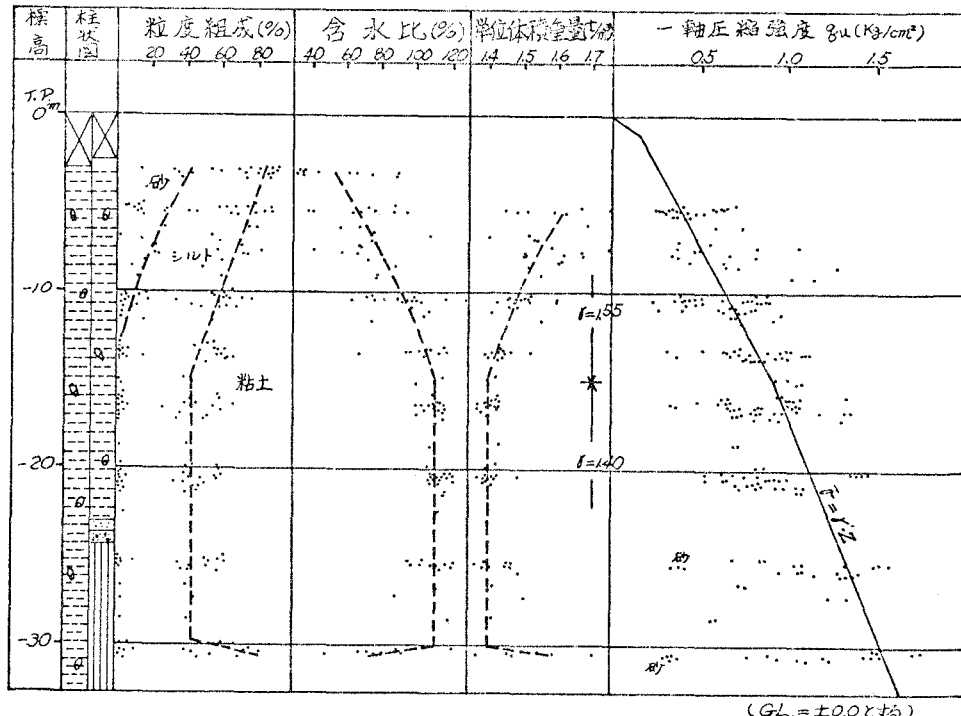


図-2 土質常数一覧図

シト・変位、周辺地盤の変位、切梁反力の測定等の山留め工全般に対する計測を行なっている。又他の全ブロックについて切梁反力、鋼管矢板の頭部変位・はらみ出し等を測定している。近接構造物については、全区間、周辺地盤の沈下・根岸線の橋脚変動(傾斜・沈下・水平変位等)を測定している。以上の諸計測を通じて予測な事態を事前に察知し有効な対策を講じえるようにした。

切梁荷重は全ブロックについて測定し国鉄側で測定している。B・U・Dブロックおよび試験掘削ブロックであるD'・E'ブロックでは3列、他のブロックでは1列を測定している。土圧計はブルドン管圧力計による直読式で、型名はSS321(油圧)、測定範囲200t、最小読み取り値2tである。

(4) 計測結果および考察

切梁反力は、Y・X・A'ブロックが上下線に分離したことにより35ブロックにおいて50列の測定がある。切梁段数は3段～9段である。本報告では掘削完了ブロックの代表例について紹介する。

図-3はLブロック(鋼管矢板: $\phi 812.8 \times 12.7$ 土丹深: -45.0m、現地盤高に段差なし)とD'ブロック($\phi 1422.4 \times 21.9$ 、-25.0m、段差: 2.2m)の切梁反力の実測例で、各掘削段階毎の変化を示す。掘削深は土圧計が設置されている海側の現地盤よりの深さで、現地盤に段差のあるLブロックでは山側の掘削深が2.2m深く18.1mとなる。第1段切梁は、現地盤の段差、立ち灰杭打設時に生ずる鋼管矢板の横移動による受働土圧と一次掘削時のその土圧の解放・鋼管矢板の剛性と土丹深等に影響されている。従って、鋼管矢板の剛性が大で、山側の段差のみを掘削し海側の鋼管矢板の頭部に切梁を設置する場合には受働土圧が解放されず第1段切梁に作用するため切梁反力は著しく大である。

切梁反力を下方分担法により分担面積当たりに換算した土圧は中段の切梁で最大となるのは従来の報告と一致する。切梁反力の掘削に伴う変化は切梁設置後の掘削と次の掘削で増加し、以後は減少する傾向がある。特に第1段切梁

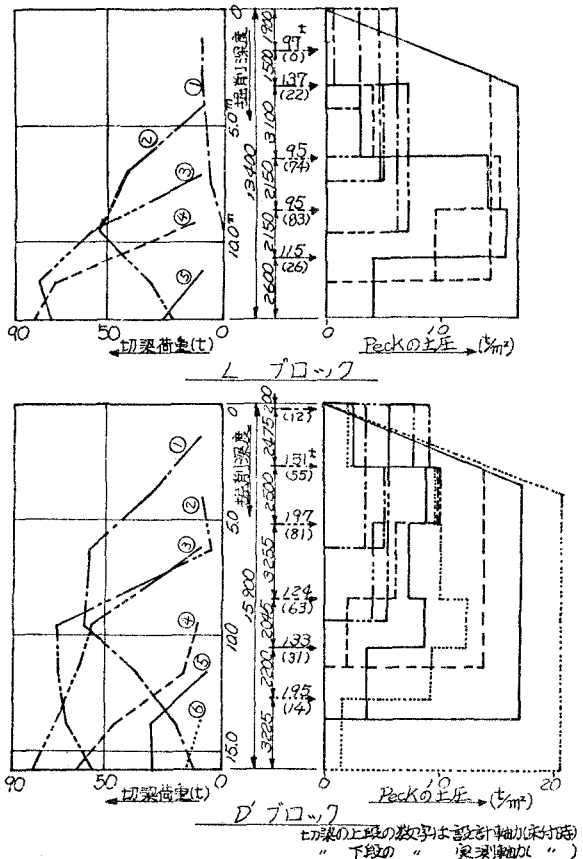


図-3 切梁反力 実測例

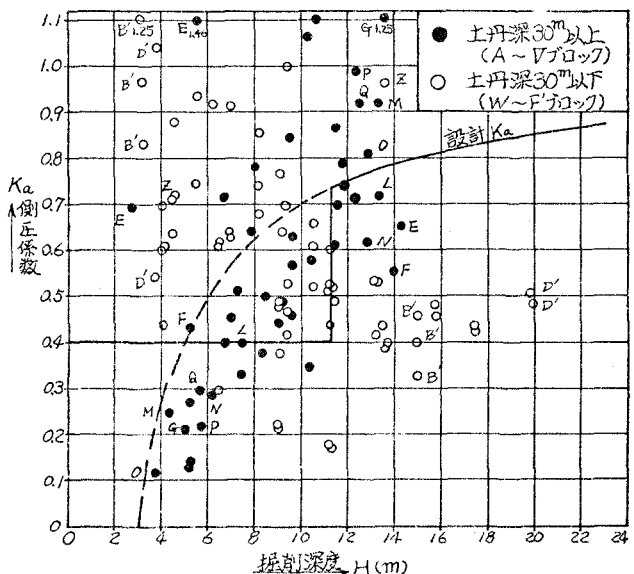


図-4 側圧係数変化図

では軸力が零になる場合が多い。切梁長が長く、現場総手数が多くため $10t \sim 15t$ 程度の通常のやり止めではゆみを完全に除去するのは困難であると考えられ、切梁設置後直ちに弾性支承として働くが、ゆみを止める分を変位してから有効に働き始めることが観察される。従って、新しく設置した切梁の上段の切梁に荷重が作用する傾向がある。特にこの点は最下段の切梁反力に顕著である。更に最下段の切梁反力が少である原因については、図-1の断面図のように中央を機械振削のため余振することにより実際の下方分担の分担面積が小さくなる影響も考えられる。

図-4は、実測による見かけの側圧係数とPeckの側圧係数を振削深毎に示している。実測の見かけの側圧係数は下方分担法による分担面積当たりに換算した切梁反力の最大値と海側の床付深における山留め背面上の土の重量(γH)との比である。図より実測の見かけの側圧係数は振削深に対し一義的に決定することは不可能である。振削深の浅い場合は、前述のように一段切梁架設前の一級振削の範囲の相異から生ずる生石灰坑による受働土圧の解放の差と埋地盤高の段差による偏土圧による影響が大である。振削深毎の変化では、振削に伴ない増加するグループと減少するグループに分けられる。振削深に対し土丹深が深い場合には、見かけの側圧係数の実測値はPeckの土圧をやゝ下まわって振削深と共に増加するが、Peckの土圧を越える場合も多い。これは、主として中段の切梁で全切梁反力を負担する傾向があるためで、均等に土圧が作用するように各段の切梁を架設することができればPeckの土圧以内に入ると考えられる。しかし平均的な施工の場合には以上述べたような結果も生ずるので注意を要する。なお、この場合の全切梁反力は図-5に示すように各振削段階においてほど振削深迄の三角形分布の全土圧の60%~70%程度である。従ってこの範囲では地盤改良の効果が充分發揮され、振削による土圧と振削底面の土が負担していくと考えられる。

振削深が土丹深に対して浅い場合は、振削初期では大きな側圧係数が測定され、この点については前述の通りであるが、振削深が土丹深の $1/2$ 程度になると図-4より実測の側圧係数は0.4~0.5になる。又切梁反力の分布も上段と下段が小である台形分布となる。これは比較的固い粘性地盤の切梁反力の分布に類似している。

以上より、切梁設計に際してはPeckの土圧を使用する場合には、切梁を特に慎重に架設して反力の均等化を計ると共に、計測と併用して施工する必要があろう。

(5) おわりに

この工事は、以上のような仮設工に対する諸問題を有しているので、設計・施工について「第大岡川筋国鉄橋脚並接施工工事に関する研究委員会」(鈴木俊男委員長)において諸先輩の御意見をうけたまわりながら施工を進めている。幸いにも、現在予割程度の振削が完了していることは、諸先輩の御協力のたまものと深く感謝いたします。最後に本報告をまとめに当り御協力いただいた(株)三井建設、(株)大林組、(株)間組、(株)奥村組および应用地質(株)の工事関係者の方々にこの私函を借りて謝意を表す次第です

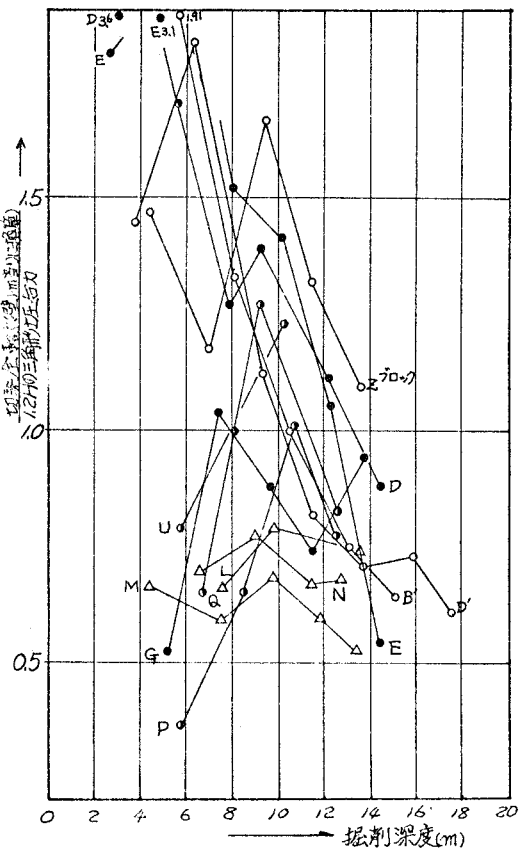


図-5 切梁全反力変化図